

朱培培,王坚.NUT肉瘤:NUTM1重排肿瘤家族中的新成员(见正文第561页)

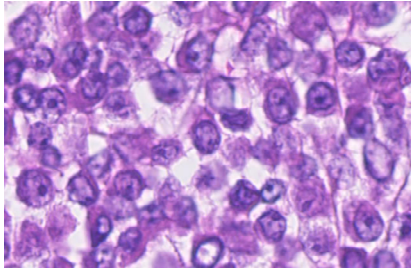


图1 由小圆细胞组成的 NUTM1 重排肉瘤 (HE 染色, ×60)

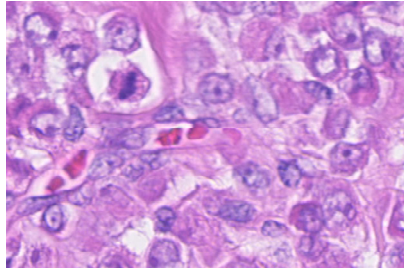


图2 由上皮样细胞组成的 NUTM1 重排肉瘤 (HE 染色, ×60)

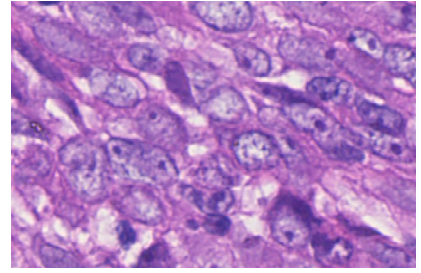


图3 由高级别梭形细胞组成的 NUTM1 重排肉瘤 (HE 染色, ×60)

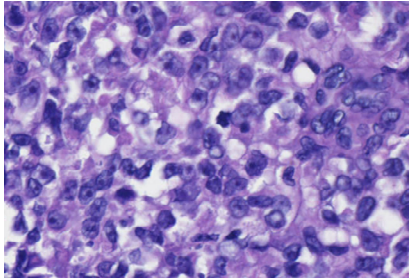


图4 由梭形细胞和小圆细胞混合组成的 NUTM1 重排肉瘤 (HE 染色, ×40)

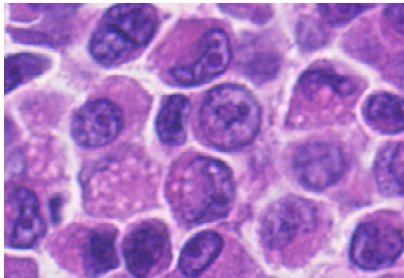


图5 部分 NUTM1 重排肉瘤中的瘤细胞呈横纹肌样形态 (HE 染色, ×80)

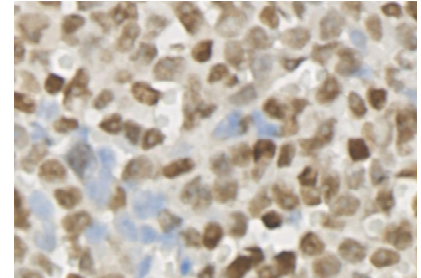
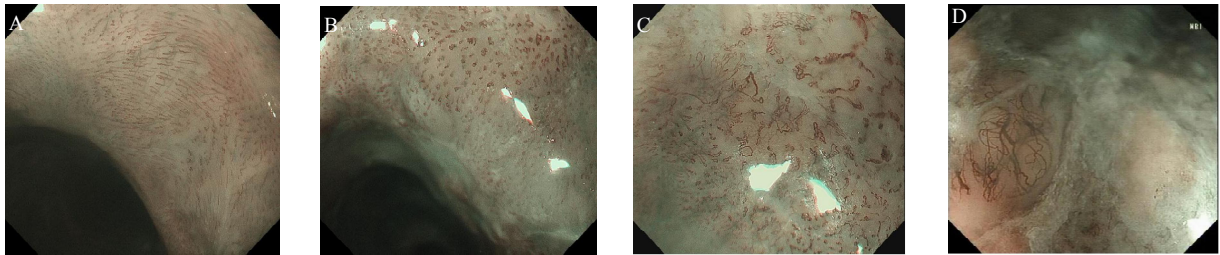


图6 NUTM1 重排肉瘤的瘤细胞弥漫核表达 NUT 蛋白 (EnVision 染色, ×60)

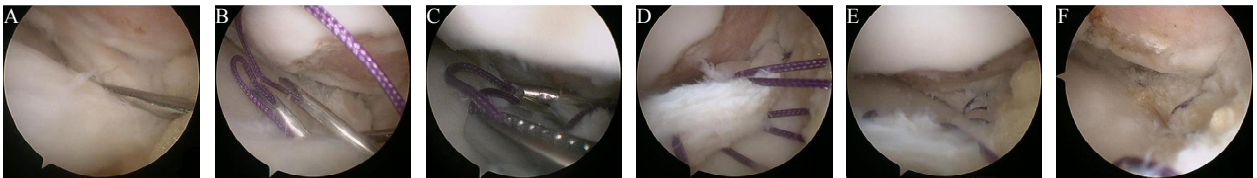
陆宏娜,郭雯莹,汪春年,等.日本食道学会-AB 分型在预测食管浅表鳞状细胞癌浸润深度中的应用(见正文第606页)



注:A 为 A 型,B 为 B1 亚型,C 为 B2 亚型,D 为 B3 亚型

图7 JES-AB 分型

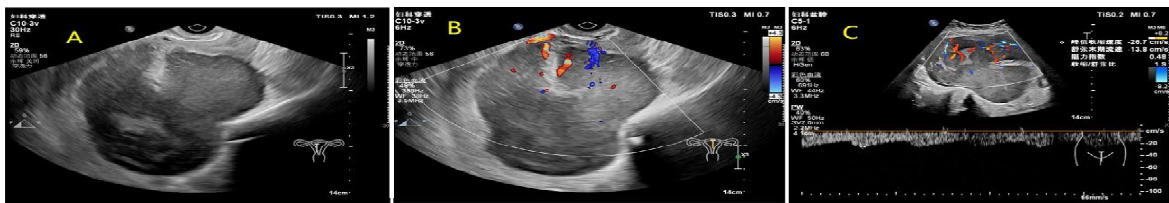
何松峡,吴睿,程卓轩.关节镜下改良 Outside-in 缝合技术结合药物注射治疗膝关节骨性关节炎伴半月板撕裂的疗效分析(见正文第678页)



注:A 为探勾将撕裂的半月板予以复位;B 为两个带有缝合线的穿刺针分别从半月板撕裂的上、下缘穿入进入半月板游离缘;C 为在同侧入路用直钳夹住 2 根内侧一端缝线引出体外,并同时撤出 2 根穿刺针;D 为一根作为牵引线,将另一根固定线从牵引线处穿出,根据实际情况设计缝合针数,每针间距 4~6 mm;E 为游离固定线的皮下组织,将固定线两端从同侧手术入路牵出,用推结器 SMC 结固定于皮下,缝合完成;F 为半月板修复完后与骨关节炎软骨缺损的情况

图8 改良 Outside-in 缝合技术修复撕裂半月板的的操作过程

王慧慧,许幼峰,林珊虹,等.原发性子宫 B 细胞淋巴瘤超声表现 1 例报告(见正文第681页)



注:A 为子宫经阴道超声纵切图,显示子宫体弥漫性增大,回声减低,内膜线清晰,呈“漂浮征”;B 为彩色多普勒显示病灶内粗大血流信号;C 为子宫经腹部彩色多普勒图像显示病灶整体血流信号丰富,RI:0.48

图9 经阴道超声获得的子宫体病变的二维彩色图像及经腹部获得的彩色多普勒图像